

А. Е. САРГСЯН

ВЗАИМОДЕЙСТВИЕ ФУНДАМЕНТА И РЫХЛОГО СЛОЯ В ЭПИЦЕНТРАЛЬНЫХ ЗОНАХ СИЛЬНЫХ ЗЕМЛЕТРЯСЕНИЙ

Рассмотрено колебание жесткого фундамента на поверхности упруго-пластического слоя, подстилаемого упругими скальными породами при прямом падении продольной сейсмической волны на нижнюю границу слоя.

Закон динамической сжимаемости и разгрузки грунта изображен на рис. 1.

О отражение от податливой преграды. Для изучения взаимодействия сооружения с упруго-пластическим основанием необходимо рассмотреть эффект отражения. Подобная задача была рассмотрена в работе [6] для упругого основания.

При решении поставленной задачи определяется нагрузка, испытываемая сооружением, закон его движения, параметры поля напряжений и скорость колебания частиц перед отражением и преломлением (рис. 2, области 1, 2, 3). Решение проводится в координатах Лагранжа (h, t) , где: $h = \rho \cdot z$.

ρ — плотность грунта;

z — пространственная координата

t — Эйлера;

t — параметр времени.

Начало координат поместим на податливой преграде, а ось h направим по направлению падающей волны. Принимается, что падающая волна имеет форму постоянного прямоугольного импульса.

Рассмотрим случаи отражения на податливой преграде, когда перемещения отдельных элементов фундамента ничтожно малы по сравнению с перемещением сооружения как единого целого.

Случай а). Падающая волна упругая, а отраженная — пластическая (рис. 2, а), т. е.:

$$P_{\text{под}} \leq P_{\text{пу}}; \quad P_{\text{отр}} > P_{\text{пу}}.$$

Напишем соотношения на фронтах различных волн между давлением и скоростью колебания частиц и условия на преграде: на фронте падающей волны:

$$P_{\text{под}} - m_1 \cdot U_{\text{под}} = 0, \tag{а}$$

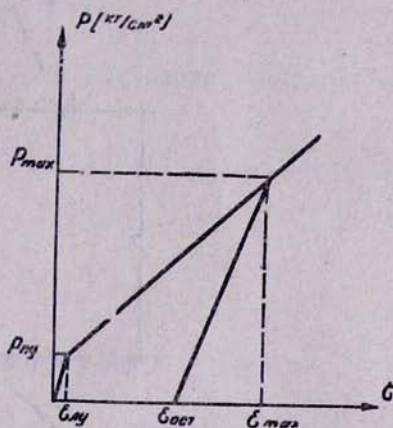


Рис. 1. Динамическая диаграмма напряжение-деформация грунта при $\sigma \leq (10 \div 15) \text{ кг/см}^2$

на фронте отраженной волны:

$$P_{\text{отр}} + m_2 \cdot U_{\text{отр}} = P_{\text{под}} + m_2 \cdot U_{\text{отр}} \quad (б)$$

условие на преграде:

$$P_{\text{отр}} = P; \quad U_{\text{отр}} = U, \quad (в)$$

где m_1 и m_2 — соответственно акустические жесткости упругих и пластических областей грунта;

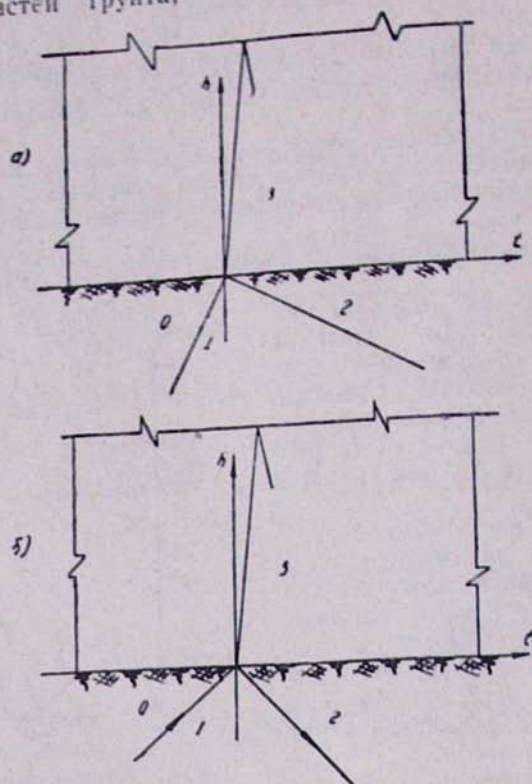


Рис. 2. Схема отражения волн от податливой преграды:

а — в случае падающей упругой волны;

б — в случае падающей пластической волны

P — волновая нагрузка на сооружение;

U — скорость колебания сооружения.

Из (б) с учетом (а) и (в) получим:

$$P = \left(1 + \frac{1}{k_1}\right) \cdot P_{\text{под}} - m_2 \cdot U. \quad (1)$$

Имеем уравнение с двумя неизвестными P и U . Составляем дифференциальное уравнение колебания преграды:

$$\mu \cdot \ddot{W} = P - R, \quad (2)$$

где P — внешняя волновая нагрузка на преграду;

μ — масса единицы площади фундамента;

W — перемещение преграды как единого целого;

R — реакция грунта при движении преграды, определяемая диаграммой сжимаемости и разгрузки (рис. 1):

$$R = r_{21} \cdot W - (r_{21} - r_{11}) \cdot W_{\text{пу}}, \quad (3)$$

где r_{11} — единичная реакция грунта, соответствующая единичному смещению преграды в упругой стадии основания;

r_{21} — единичная реакция грунта, соответствующая пластической стадии основания;

$W_{\text{пу}} = P_{\text{пу}}/r_{11}$; $P_{\text{пу}}$ — предел упругости грунта, определяемый диаграммой (рис. 1).

Подставляя в уравнение (2) значения P и R , после некоторых преобразований получим:

$$\ddot{W} + 2n_2 \cdot \dot{W} + \varphi_{02}^2 \cdot W = P_{\text{пу}}/\mu \cdot \left[(i-1) + \left(1 + 1/k_1 \right) P_{\text{под}}/P_{\text{пу}} \right] \quad (4)$$

В уравнении (4) приняты следующие обозначения:

$$n_2 = \frac{m_2}{2\mu}; \quad \varphi_{01}^2 = \frac{r_{11}}{\mu}; \quad \varphi_{02}^2 = \frac{r_{12}}{\mu}; \quad i = \frac{r_{21}}{r_{11}}.$$

Решение дифференциального уравнения колебания преграды при нулевых начальных условиях принимает вид:

$$W = P_{\text{пу}}/r_{12} \left[(i-1) + \left(1 + \frac{1}{k_1} \right) P_{\text{под}}/P_{\text{пу}} \right] \cdot \left[1 - e^{-n_2 \tau} \left(\frac{n_2}{\varphi_2} \sin \varphi_2 \tau + \cos \varphi_2 \tau \right) \right], \quad (5)$$

где $\varphi_2^2 = \varphi_{02}^2 - n_2^2$.

Откуда:

$$\dot{W} = \frac{P_{\text{пу}}}{\mu \varphi_2} \left[(i-1) + \left(1 + \frac{1}{k_1} \right) P_{\text{под}}/P_{\text{пу}} \right] \cdot e^{-n_2 \tau} \cdot \sin \varphi_2 \tau. \quad (6)$$

Давление на преграду определяется из соотношения (1) путем подставления в него значения \dot{W} (6), учитывая, что $\dot{W} = U$:

$$P = \left(1 + \frac{1}{k_1} \right) P_{\text{под}} - P_{\text{пу}} \frac{2n_2}{\varphi_2} \left[(i-1) + \left(1 + \frac{1}{k_1} \right) \cdot P_{\text{под}}/P_{\text{пу}} \right] \cdot e^{-n_2 \tau} \cdot \sin \varphi_2 \tau. \quad (7)$$

Определяем коэффициент отражения:

$$K = P/P_{\text{под}} = \left(1 + \frac{1}{k_1} \right) - \frac{2n_2}{\varphi_2} \left[(i-1) P_{\text{пу}}/P_{\text{под}} + \left(1 + \frac{1}{k_1} \right) \right] \cdot e^{-n_2 \tau} \cdot \sin \varphi_2 \tau. \quad (8)$$

Принимая $k_1=1$, $i=1$ и подставляя эти значения в уравнение (8), получим известную формулу А. П. Сеницына [6]:

$$K = 2 \left(1 - 2 \cdot \frac{n_1}{\varphi_1} e^{-n_1 \tau} \cdot \sin \varphi_1 \tau \right). \quad (8')$$

Случай б). Падающая пластическая волна после отражения остается пластической

$$P_{\text{пол}} > P_{\text{пу}}; \quad P_{\text{отр}} > P_{\text{пу}}.$$

Напишем соотношения давления и скорости колебания частиц на фронтах различных волн и условие на преграде. На фронте падающей волны:

$$P_{\text{пад}} - m_2 \cdot U_{\text{пад}} = 0; \quad (c)$$

на фронте отраженной волны:

$$P_{\text{отр}} + m_2 \cdot U_{\text{отр}} = P_{\text{пад}} + m_2 \cdot U_{\text{пад}}; \quad (d)$$

условие на преграде:

$$P_{\text{отр}} = P; \quad U_{\text{отр}} = U. \quad (e)$$

На основе (d), учитывая соотношение (c) и (e), получим связь между волновой нагрузкой на преграде и скоростью ее колебания:

$$P = 2P_{\text{пад}} - m_2 \cdot U. \quad (9)$$

Подставляя значения P (9) и R (3) в уравнение (2), после некоторых преобразований получаем:

$$\ddot{W} + 2n_2 \cdot \dot{W} + \varphi_2^2 \cdot W = P_{\text{пад}}/r \cdot [P_{\text{пу}}/P_{\text{пад}}(i-1) + 2]. \quad (10)$$

Решение уравнения (10) при нулевых начальных условиях имеет вид:

$$W = P_{\text{пад}}/r_{21} \cdot [(i-1) \cdot P_{\text{пу}}/P_{\text{пад}} + 2] \cdot \left[1 - e^{-n_2 \tau} \left(\frac{n_2}{\varphi_2} \sin \varphi_2 \tau + \cos \varphi_2 \tau \right) \right]. \quad (11)$$

Тогда скорость колебания преграды равна (рис. 2, б):

$$\dot{W} = \frac{P_{\text{пад}}}{r \varphi_2} \cdot [(i-1)P_{\text{пу}}/P_{\text{пад}} + 2] \cdot e^{-n_2 \tau} \cdot \sin \varphi_2 \tau. \quad (12)$$

Подставляя значение \dot{W} (12) в уравнение (9), определяем волновую нагрузку на преграду:

$$P = 2P_{\text{пад}} \left[1 - n_2/\varphi_2 \cdot [(i-1)P_{\text{пу}}/P_{\text{пад}} + 2] \cdot e^{-n_2 \tau} \cdot \sin \varphi_2 \tau \right]. \quad (13)$$

Тогда коэффициент отражения определится формулой:

$$K = 2 \left\{ 1 - \frac{n_2}{\varphi_2} \left[(i-1)P_{\text{пу}}/P_{\text{пад}} + 2 \right] \cdot e^{-n_2 \tau} \cdot \sin \varphi_2 \tau \right\}. \quad (14)$$

Полагая $i=1$, получаем коэффициент отражения для упругой падающей и упругой отраженной волн, значение которого полностью совпадает с формулой (8').

Как видно из (8) и (14), коэффициент отражения от податливой преграды при упруго-пластической модели грунта зависит не только от физических и частотных характеристик основания и сооружения, а также от времени, но и от величины давления на падающей волне.

Для абсолютно жесткой неподвижной преграды ($\dot{W}=0$) коэффициент отражения имеет значения:

$$\text{в случае а) } K = 1 + \frac{1}{k_1},$$

для других грунтов $k_1 = 1$, тогда $K = 2 = \text{const}$;

Для рыхлых грунтов $k_1 = 2 \div 5$, тогда $K = (1,5 \div 1,2)$;

в случае б) $K = \text{const} = 2$.

На рис. 3 показано изменение коэффициента отражения по времени при следующих физических и частотных характеристиках основания

сооружения: $k_1 = 3$; $m_1 = 8,5 \cdot 10^{-2} \frac{\text{кг} \cdot \text{сек}}{\text{см}^3}$;

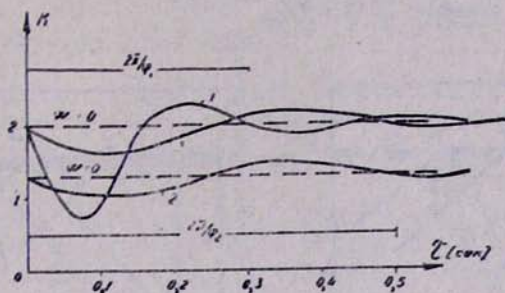


Рис. 3. Изменение коэффициента отражения по времени

- 1—в случае $k_1=1$;
 2—в случае, когда падающая волна упругая, отраженная — пластическая;
 3—в случае, когда волна падающая,—отраженные волны пластические

$$m_2 = 28 \cdot 10^{-2} \frac{\text{кг} \cdot \text{сек}}{\text{см}^3}; \quad i = 1/6; \quad P_{\text{пу}} = 0,5 \text{ кг/см}^2;$$

$$m_1 = 2,0 \cdot 10^{-3} \frac{\text{кг} \cdot \text{сек}^2}{\text{см}^4}; \quad \varphi_{01} = 31,4 \text{ сек}^{-1}; \quad \varphi_{02} = 13,0 \text{ сек}^{-1};$$

$$n_1 = 21,25 \text{ сек}^{-1}; \quad n_2 = 7,0 \text{ сек}^{-1};$$

$$\text{случае а): } P_{\text{под}} = 0,5 \text{ кг/см}^2;$$

$$\text{случае б): } P_{\text{под}} = 1,0 \text{ кг/см}^2.$$

Кривая (1) показывает изменение коэффициента отражения при упругом ($k_1=1$), а кривые (2) и (3) при упруго-пластическом ($k_1>1$) основании, соответственно по случаям а) и б).

Волновые сетки в упруго-пластическом слое. Вывод уравнений колебания сооружения. В работе [8] были получены следующие формулы, определяющие давления и скорости колебания частиц на нижней границе слоя при прямом падении продольной сейсмической волны:

$$\left. \begin{aligned} U_{\text{пр}}^{\text{пл}} &= 2 \cdot U_{\text{под}} - \frac{k_1 - 1}{k_0} \cdot P_{\text{пу}} / m_1 \\ P_{\text{пр}}^{\text{пл}} &= 2 \cdot m_2 \cdot U_{\text{под}} + \left(1 - \frac{1}{k_1}\right) \cdot P_{\text{пу}} \end{aligned} \right\} \quad (15)$$

где $k_0 = m_0 / m_1$; m_0 —акустическая жесткость скальных подстилающих пород.

Для решения волновых схем (рис. 4) поместим начало системы координат (h, t) на нижнюю границу слоя, а ось h направим по направлению распространения проходящих волн.

Из начального сечения в момент времени $t=0$ одновременно начинают распространяться две волны сжатия—упругая и пластическая. В момент времени $t=T/2$ давление на нижней границе мгновенно исчезает и начинает распространяться фронт волны разгрузки.

Рассматриваются следующие возможные случаи волновых схем в упруго-пластическом слое, в зависимости от периода падающей волны, толщины слоя и физических характеристик грунта.

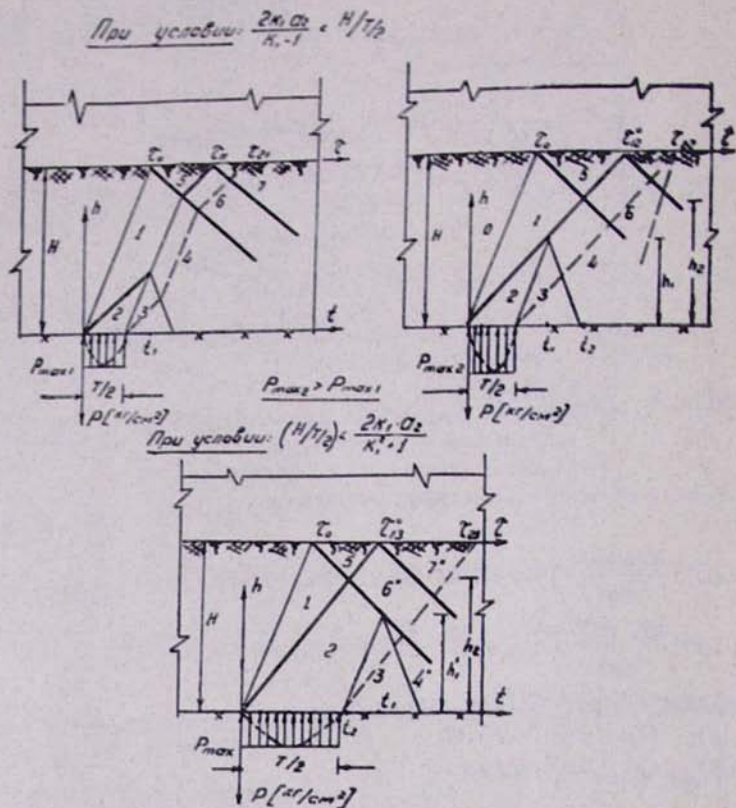


Рис. 4. Возможные волновые схемы в рыхлом слое при взаимодействии сооружения с основанием

Случай а). Волна разгрузки, распространяющаяся от нижней границы слоя, раньше догоняет пластическую волну, чем пластическая волна, возникающая в результате отражения упругой волны от податливой преграды (рис. 4, а).

Случай б). Пластическая волна, отраженная от податливой преграды, раньше отражает пластическую волну сжатия, чем волна разгрузки, распространяющаяся от нижней границы слоя (4, б).

Запишем условия образования волновых сеток (4, а, б) уравнениями в координатах (h, t) . Для этого напомним сначала уравнения движения фронта следующих волн: фронт первой пластической волны, распространяющийся от нижней границы слоя:

$$h = m_2 t; \quad (16)$$

фронт первой волны разгрузки, распространяющейся от нижней границы:

$$h = m_1(t - T/2); \quad (17)$$

фронт первой пластической волны, отраженной от податливой преграды:

$$h = H - m_2 \cdot (t - H/m_1), \quad (18)$$

где $H = H \cdot \rho$; H — толщина слоя.

Решая совместно (16) и (17), определим координату $h = h_1$, при которой встречается пластическая волна с волной разгрузки.

$$h_1 = m_2/k_1 - 1 \cdot T/2.$$

Значение координаты h_2 , при которой встречаются волна пластическая, распространяющаяся от нижней границы, и волна, отраженная от преграды, определится в результате совместного решения

$$(16) \text{ и } (18): h_2 = \frac{k_1 + 1}{2k_1} \cdot H.$$

В случае волновой сетки рис. 4, а $h_1 < h_2$, т. е.

$$\frac{H}{T/2} > \frac{2 \cdot k_1}{k_1^2 - 1} \cdot m_2 \text{ или } \frac{H}{T/2} > \frac{2 \cdot k_1}{k_1^2 - 1} \cdot a_2. \quad (19)$$

В случае волновой сетки рис. 4, б $h_2 < h_1$, т. е.

$$\frac{H}{T/2} < \frac{2 \cdot k_1}{k_1^2 - 1} \cdot m_2 \text{ или } \frac{H}{T/2} < \frac{2 \cdot k_1}{k_1^2 - 1} \cdot a_2. \quad (20)$$

Результаты решения различных областей волновых схем сведены в табл. 1.

Для изучения колебания сооружения в случае, когда в слое образуется та или иная волновая схема, следует рассмотреть следующие интервалы времени:

I интервал времени — с момента падения первой упругой волны $\tau = \tau_0$ (где $\tau = t - \frac{H}{a_1}$) до момента падения первой пластической

волны $\tau = \tau_{1k}$ на подошве сооружения. Для удобства дальнейших обозначений введен индекс « k », где $k=1, 2, 3$ соответствует волновым схемам 4, а-1, 4, а-2, 4, б-2.

II интервал времени — с момента падения первой пластической волны $\tau = \tau_{1k}$ до момента исчезновения внешней волновой нагрузки на подошве сооружения $\tau = \tau_{2k}$.

III интервал времени — свободное колебание сооружения до полного затухания, т. е. при $\tau > \tau_{2k}$.

Дифференциальное уравнение I интервала времени составлено методом динамического равновесия на податливой перегрузке, которое имеет вид:

$$\ddot{W} + 2n_2 \cdot \dot{W} + \varphi_{02}^2 \cdot W = C_{11}, \quad (21)$$

где

$$C_{11} = P_{ny}/\mu \left[\left(1 + \frac{1}{k_1} \right) + (i-1) \right].$$

Область (см рис 2)	Результаты решения		Характеристика области	Отношение P_n/P_{ny}
	Давление P_n [кг/см ²]	Скорость колебания частицы [см/сек]		
0	0	0	Полой	0
1	P_{ny}	P_{ny}/m_1	Нагрузка	1
2	$2m_2 U_{nad} + (1 - \frac{1}{K_1}) P_{ny}$	$2 U_{nad}$	Нагрузка	>1
3	0	$\frac{K_1-1}{K_1} (2 U_{nad} - \frac{P_{ny}}{m_1})$	Разгрузка	0
4	$(K_1-1)m_2 U_{nad} - \frac{K_1-1}{2K_1} P_{ny}$	$\frac{K_1-1}{K_1} (U_{nad} + \frac{1}{2} \frac{P_{ny}}{m_1})$	Нагрузка	0
5	$P_{ny} \left[(1 + \frac{1}{K_1}) \frac{m_2}{\mu \varphi_2} [(l-1) + \frac{K_1-1}{K_1}] \cdot e^{-n_2 z} \sin \varphi_2 z \right]$	$\frac{P_{ny}}{\mu \varphi_2} [(l-1) \cdot (1 + \frac{1}{K_1})] \cdot e^{-n_2 z} \sin \varphi_2 z$	Нагрузка	>1
6	$\frac{K_1-1}{2K_1} m_2 U_{nad} + P_{ny} \left[\frac{(K_1+1)^2}{4K_1^2} - \frac{m_2}{\mu \varphi_2} [(l-1) + \frac{K_1+1}{K_1}] \right] e^{-n_2 z} \sin \varphi_2 z$	$\frac{K_1-1}{2K_1} U_{nad} - P_{ny} \left[\frac{(K_1+1)(3K_1-1)}{4K_1^2 m_2} + \frac{1}{\mu \varphi_2} [(l-1) + \frac{K_1+1}{K_1}] \right] e^{-n_2 z} \sin \varphi_2 z$	Нагрузка	>1
7	$\frac{K_1^2-1}{K_1} m_2 U_{nad} + m_2 h_0 \alpha \cdot e^{-n_2 (z-z_1)} \sin [\varphi_2 (z-z_1) - (\delta, \alpha_1)]$	$-h_0 \beta_0 e^{-n_2 (z-z_1)} \sin [\varphi_2 (z-z_1) - (\delta, \alpha_1)]$	Нагрузка	>1
4'	$2 \frac{K_1-1}{K_1+1} (m_2 U_{nad} + \frac{K_1-1}{2K_1} P_{ny})$	$2 \frac{K_1-1}{K_1+1} (U_{nad} - \frac{P_{ny}}{m_1})$	Нагрузка	>1
6'	$2 \frac{K_1-1}{K_1+1} m_2 U_{nad} + P_{ny} \left[\frac{2K_1^2 - 2K_1 + 1}{2K_1(K_1+1)} - \frac{m_2}{\mu \varphi_2} [(l-1) + \frac{K_1+1}{K_1}] \right] e^{-n_2 z} \sin \varphi_2 z$	$2 \frac{K_1-1}{K_1+1} U_{nad} + P_{ny} \left[\frac{3K_1-1}{K_1(K_1+1)m_2} + \frac{1}{\mu \varphi_2} [(l-1) + \frac{K_1+1}{K_1}] \right] e^{-n_2 z} \sin \varphi_2 z$	Нагрузка	>1
7'	$4 \frac{K_1-1}{K_1+1} m_2 U_{nad} + P_{ny} \left[\frac{K_1^2 - 3K_1 + 3}{K_1(K_1+1)} - h_1 m_2 \beta_0 e^{-n_2 (z-z_1)} \sin [\varphi_2 (z-z_1) - (\delta, \alpha_1)] \right]$	$-h_1 \beta_0 e^{-n_2 (z-z_1)} \sin [\varphi_2 (z-z_1) - (\delta, \alpha_1)]$	Нагрузка	>1
6''	$2m_2 U_{nad} + P_{ny} \left[1 - \frac{m_2}{\mu \varphi_2} \left[(1 + \frac{K_1+1}{K_1}) \right] \right] e^{-n_2 z} \sin \varphi_2 z$	$2 U_{nad} - P_{ny} \left[\frac{1}{m_1} + \frac{m_2}{\mu \varphi_2} \left[(1 + \frac{K_1+1}{K_1}) \right] \right] e^{-n_2 z} \sin \varphi_2 z$	Нагрузка	>1
7''	$4m_2 U_{nad} + P_{ny} \left[\frac{K_1-1}{K_1} + h_1' m_2 \beta_0 e^{-n_2 (z-z_1)} \sin [\varphi_2 (z-z_1) - (\delta, \alpha_1)] \right]$	$-h_1' \beta_0 e^{-n_2 (z-z_1)} \sin [\varphi_2 (z-z_1) - (\delta, \alpha_1)]$	Нагрузка	>1

Напишем решение уравнения (21) при нулевых начальных условиях:

$$W = \frac{C_{11}}{\varphi_2^2} \cdot \left[1 - e^{-n_2 \tau} \left(\frac{n_2}{\varphi_2} \sin \varphi_2 \tau + \cos \varphi_2 \tau \right) \right], \quad (22)$$

иткуда

$$\dot{W} = \frac{C_{11}}{\varphi_2} \cdot e^{-n_2 \tau} \cdot \sin \varphi_2 \tau, \quad (23)$$

где $\varphi_2^2 = \varphi_{02}^2 - n_2^2$.

Используя соотношение скорости колебания частиц и давления на фронте отраженной волны в I интервале времени, получим:

$$P = \left(1 + \frac{1}{k_1} \right) \cdot P_{\text{пу}} - C_{11} \cdot \mu \cdot \frac{2n_2}{\varphi_2} \cdot e^{-n_2 \tau} \cdot \sin \varphi_2 \tau; \quad (24)$$

P — волновая нагрузка на подошве основания.

Из уравнений (23) и (24) определяем значения W и \dot{W} в последнем моменте I интервала времени:

$$W_{1k} = W(\tau_{1k}); \quad \dot{W}_{1k} = \dot{W}(\tau_{1k}). \quad (25)$$

(25) является начальным условием для решения дифференциального уравнения колебания сооружения во II интервале. Запишем это уравнение:

$$\ddot{W} + 2n_2 \cdot \dot{W} + \varphi_{02}^2 \cdot W = C_{2k}, \quad (26)$$

где C_{2k} определяется решением областей $j = 6, 6', 6''$ (см. табл. 1) следующей формулой:

$$C_{2k} = \frac{1}{\mu} \left[P_j + m_2 U_j + (i-1) P_{\text{пол}} \right]. \quad (27)$$

При начальных условиях (25) решение (26) имеет вид:

$$W = \frac{C_{2k}}{\varphi_2^2} + L_{1k} \cdot e^{-n_2(\tau - \tau_{1k})} \cdot \cos[\varphi_2(\tau - \tau_{1k}) - \delta_{1k}]; \quad (28)$$

где

$$L_{1k} = \frac{\sqrt{N_{1k}^2 \cdot \varphi_2^2 + 2N_{1k} \cdot n_2 \cdot W_{1k} + W_{1k}^2}}{\varphi_2}$$

$$N_{1k} = \frac{C_{2k} + (2-i) \cdot P_{\text{пу}}/\mu}{\varphi_{02}^2};$$

$$\text{tg } \delta_{1k} = \frac{N_{1k}(n_2 \cdot \cos \varphi_2 \tau_{1k} + \varphi_2 \cdot \sin \varphi_2 \tau_{1k}) + W_{1k} \cdot \cos \varphi_2 \tau_{1k}}{N_{1k}(\varphi_2 \cdot \cos \varphi_2 \tau_{1k} - n_2 \cdot \sin \varphi_2 \tau_{1k}) - W_{1k} \cdot \sin \varphi_2 \tau_{1k}}$$

Уравнения (23) и (28) показывают, что амплитуда колебаний и смещение имеют постоянные слагаемые в правой части, которые зависят от свойств грунта и состояния движения в моменты подхода пла-

стических волн. Эти величины уменьшаются с уменьшением статического давления сооружения на основание.

Из уравнения (28) можно определить скорость колебания сооружения:

$$W = -L_{1k} \cdot \varphi_{02} \cdot e^{-n_1(\tau - \tau_{1k})} \cdot \sin[\varphi_2(\tau - \tau_{1k}) - (\delta_{1k} - \alpha_1)], \quad (29)$$

где

$$\alpha_{1k} = \arctg n_2 / \varphi_2.$$

С учетом соотношения давления и скорости колебания частиц в отраженной волне получим величину волнового давления, действующего на подошву сооружения во II интервале времени:

$$P = \left[\frac{C_{2k}}{\mu} - (i-1) P_{ny} \right] + m_2 \cdot \varphi_{02} \cdot L_{1k} \cdot e^{-n_1(\tau - \tau_{1k})} \cdot \sin[\varphi_2(\tau - \tau_{1k}) - (\delta_{1k} - d_1)]. \quad (30)$$

Формулы (28), (29) и (30) действительны до момента исчезновения внешней волновой нагрузки на подошве сооружения, т. е. до момента τ_{2k} .

Напишем дифференциальное уравнение свободного колебания сооружения:

$$\ddot{W} + 2n_1 \dot{W} + \varphi_{01}^2 \cdot W = C_{3k}, \quad (31)$$

где

$$C_{3k} = (1-i) \cdot \varphi_{01}^2 \cdot (W_{2k} - P_{ny}/r_{11}),$$

$$n_1 = \frac{m_1}{2\mu}; \quad \varphi_{01}^2 = \frac{r_{11}}{\mu}.$$

Решения уравнения (31) при начальных условиях:

$$\tau = \tau_{2k}, \quad W(\tau_{2k}) = W_{2k}; \quad \dot{W}(\tau_{2k}) = \dot{W}_{2k} \quad (32)$$

принимают вид:

$$W = C_{3k} / \varphi_1^2 + L_{2k} \cdot e^{-n_1(\tau - \tau_{2k})} \cdot \cos[\varphi_1(\tau - \tau_{2k}) - \delta_{2k}], \quad (33)$$

где

$$L_{2k} = \frac{\sqrt{N_{2k}^2 \cdot \varphi_{01}^2 + 2n_1 \cdot N_{2k} \cdot W_{2k} + W_{2k}^2}}{\varphi_1},$$

$$N_{2k} = P_{ny}/r_{11} + (i-1)(P_{ny}/r_{11} - W_{2k});$$

$$\operatorname{tg} \delta_2 = \frac{N_{2k}(n_1 \cdot \cos \varphi_1 \tau_{2k} + \varphi_1 \cdot \sin \varphi_1 \tau_{2k}) + W_{2k} \cdot \cos \varphi_1 \tau_{2k}}{N_{2k}(\varphi_1 \cdot \cos \varphi_1 \tau_{2k} - n_1 \cdot \sin \varphi_1 \tau_{2k}) - W_{2k} \cdot \sin \varphi_1 \tau_{2k}}$$

$$\varphi_1^2 = \varphi_{01}^2 - n_1^2; \quad \alpha_2 = \arctg n_1 / \varphi_1.$$

Выражение (33) показывает, что свободное колебание сооружения представляет собой затухающее колебание с частотой φ_1 , соответствующей упругой ветви диаграммы $P-\varepsilon$ около остаточного смещения. С течением времени результирующее смещение стремится к остаточному, которое будет тем больше, чем меньше отношение собствен-

от частоты колебания системы на первой и второй ветвях диаграммы
 —ε. Из выражения (33) определяем скорость колебания сооружения:

$$\dot{W} = -L_{3k} \cdot \varphi_1 \cdot e^{-n_1(\tau - \tau_{2k})} \cdot \sin[\varphi_1(\tau - \tau_{2k}) - (\delta_{2k} + \alpha_2)]. \quad (34)$$

Напишем закон изменения давления при взаимодействии сооружения
 с основанием при свободном колебании:

$$P = m_2 \cdot L_{2k} \cdot \varphi_1 \cdot e^{-n_1(\tau - \tau_{2k})} \cdot \sin[\varphi_1(\tau - \tau_{2k}) - (\delta_{2k} + \alpha_2)]. \quad (35)$$

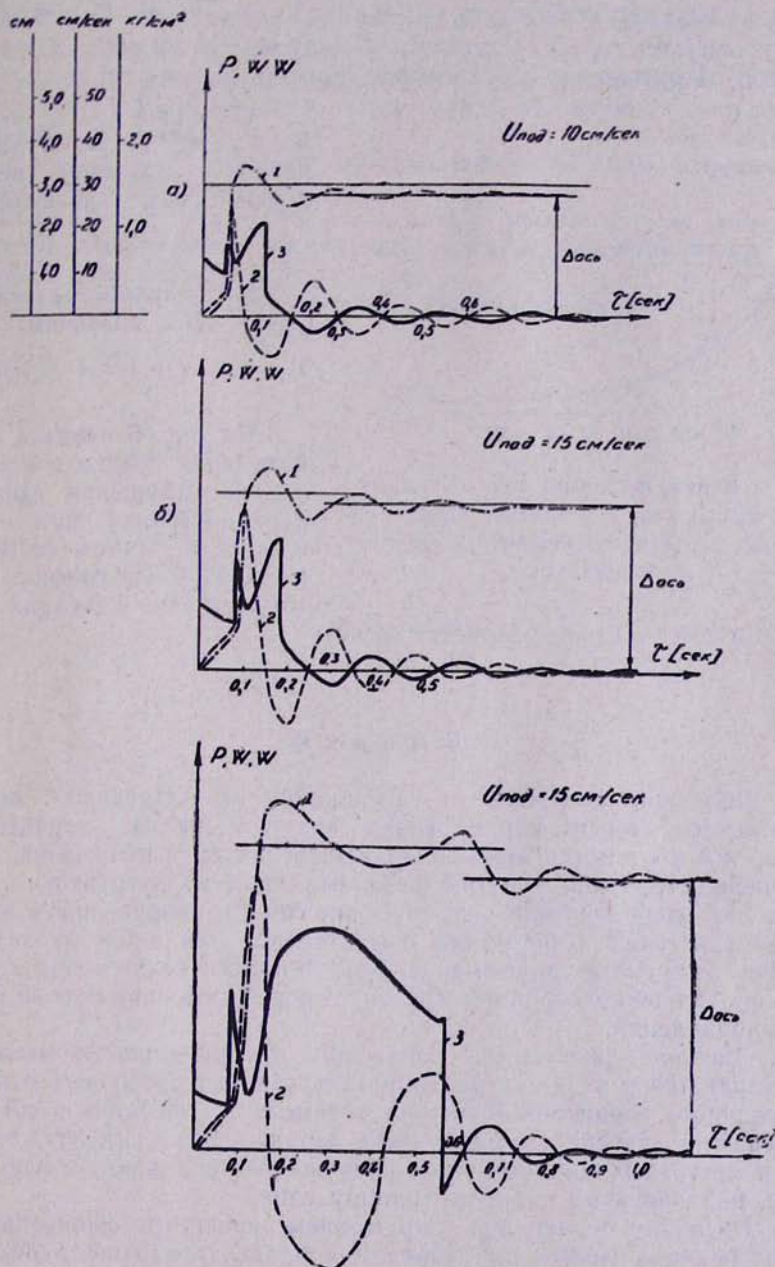


Рис. 5. Параметры колебания сооружения

Формулы (34) и (35) показывают, что скорость колебания и давление, действующее на подошву сооружения, носят характер быстрого затухания.

На рис. 5, а, б, в показан закон изменения параметров колебания сооружения (1—смещение, 2—скорость колебания, 3—давление) для волновых схем 4а—1, 2 и 4б—1, 2 при следующих характеристиках сооружения и слоистого грунтового основания, а также, параметрах падающей волны: $\varphi_{01}=31,4 \text{ сек}^{-1}$; $\varphi_{02}=13,0 \text{ сек}^{-1}$; $\mu=2,0 \cdot 10^{-3} \text{ кгс.сек}^2/\text{см}^2$; $m_1=8,5 \cdot 10^{-2} \text{ кгс.сек}/\text{см}^2$; $m_2=2,8 \cdot 10^{-2} \text{ кгс.сек}/\text{см}^2$; $P_{ny}=0,5 \text{ кгс}/\text{см}^2$; $r_{11}=1,9 \text{ кгс}/\text{см}^2$; $r_{12}=0,34 \text{ кгс}/\text{см}^2$; $H=20 \text{ м}$; $T=0,2 \text{ сек}$; $T=1,0 \text{ сек}$; $k_1=3$; $a_1=450 \text{ м}/\text{сек}$; $U_{вх}=10,0 \text{ см}/\text{сек}$; $15 \text{ см}/\text{сек}$.

Осадка под сооружением. В формуле (32) первое слагаемое является осадкой под сооружением:

$$\Delta_{осл} = C_{3k} / \varphi_{01}^2. \quad (36)$$

Подставляя значение C_{3k} (31) в (36), получаем:

$$\Delta_{осл} = (1-i) \cdot (W_{2k} - P_{ny} / r_{11}). \quad (37)$$

На рис. 6 показан график изменения осадки в зависимости от отношения единичных реакций грунта при пластическом и упругом состоянии $i = r_{12} / r_{11}$. Из графика видно, что при $i \rightarrow 1$ осадка умень-

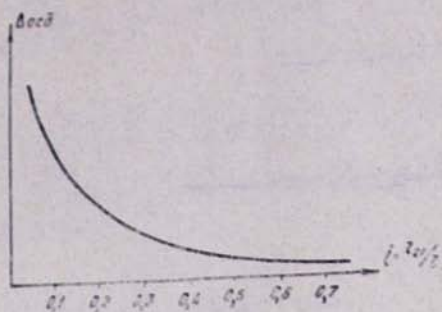


Рис. 6. Изменение осадки под сооружением в зависимости от отношения единичных реакций грунта в пластическом и упругом состояниях

шается и при $i=1$ она равняется нулю.

В ы в о д ы

1. Величина коэффициента отражения на податливой преграде существенно зависит как от физических и частотных характеристик грунта, так и от интенсивности падающей волны и отношения скоростей распространения упругих и пластических волн грунта.

2. Характер действия сейсмических сил на сооружение в зоне упруго-пластических деформаций существенно отличается от характера действия этих сил в упругой зоне. Упруго-пластическая волна в процессе ее прохождения сообщает грунту деформацию, протекающую в одном направлении.

3. Движение жесткого сооружения в упруго-пластической зоне представляется в виде суперпозиции затухающих свободных колебаний и остаточного смещения. Величина параметров колебания и остаточного смещения зависит от физических характеристик грунта, толщи слоя и частотных характеристик сооружения, а также от параметров волны, падающей на нижнюю границу слоя.

4. Величина осадки под сооружением зависит от отношения единичных реакций грунта при упругом и пластическом состоянии.

ЛИТЕРАТУРА

- И Кац А. З. О характере колебаний жесткого сооружения в зоне упруго-пластической деформации грунта. Сб. «Вопросы инженерной сейсмологии», вып. 13, М., 1970.
- Р Ляхов Г. М. Волны в плотных слоях и нагрузки на сооружение. М., изд. «Недра», 1967.
- Н Назаров А. Г. Метод инженерного анализа сейсмических сил. Ереван, изд. АН Арм.ССР, 1959.
- Ч Рахматулин Х. А. Практические методы расчета сооружений на сейсмические нагрузки. М., Стройиздат, 1974.
- У Руководство по расчету остаточных деформаций грунтов. ИОИФ, М., 1970.
- О Силицын А. П. Практические методы расчета сооружений на сейсмические нагрузки. М., Стройиздат, 1967.
- О Силицын А. П. Расчет балок и плит на упругом основании за пределом упругости. М., Стройиздат, 1974.
- О Силицын А. П., Саргсян А. Е. Влияние мягкого слоя на интенсивность колебаний при сильных землетрясениях с учетом упругопластических свойств грунта. «Изв. АН Арм. ССР» (в печати).
- И Цытович Н. А. Механика грунтов. М., «Высшая школа», 1963.